



УДК 577.113.541.127

ИЗУЧЕНИЕ КООПЕРАТИВНЫХ ВЗАИМОДЕЙСТВИЙ ПРОИЗВОДНЫХ ДЕЗОКСИРИОЛИГОНУКЛЕОТИДОВ ПРИ СВЯЗЫВАНИИ С ДНК МЕТОДОМ ХИМИЧЕСКОЙ МОДИФИКАЦИИ

© 1995 г. А. Адина-зада, О. С. Федорова*

Новосибирский институт биоорганической химии СО РАН,
630090, Новосибирск, просп. Лаврентьева, 8

Поступила в редакцию 29.12.94 г.

Изучены количественные характеристики модификации 26-звенного олигодезоксирибонуклеотида TTGCCTTGAATGGGAAGAGGGTCATT (P) 4-(N-метил-N-2-хлорэтиламино)бензилфосфамидным производным олигонуклеотида pTTCCCA (X) в присутствии производных олигонуклеотидов (PhnL)pTTCAAGGCP(L-Phn) (E₁) и (Phn-L)pTGACCCCTCp(L-Phn) (E₂), где Phn – остаток N-(2-гидроксиэтил)феназиния, L – этилендиаминовый сплайсер. В комплексах PXE₁, PXE₂ и PXE₁E₂ производные E₁, E₂ и реагент X связываются на мишени P в tandemе, причем E₁ располагается со стороны 3'-конца реагента X, а E₂ – со стороны 5'-конца. Из зависимостей предельной по времени степени модификации мишени P, а также более коротких мишней, содержащих участок комплементарного связывания реагента, от концентрации реагента X определены константы образования комплексов PX, PE₁, PE₂: соответственно K_X = (4.2 ± 0.6) × 10⁴ M⁻¹, K_{e₁} = (1.25 ± 0.44) × 10⁷ M⁻¹, K_{e₂} = (2.56 ± 1.22) × 10⁶ M⁻¹. Оценены коэффициенты кооперативности совместного связывания X, E₁ и E₂ на мишени с образованием комплексов PXE₁, PXE₂ и PXE₁E₂: α₁ = 15.7 ± 2.1 и α₂ = 8.7 ± 1.2; α₁₂ = 136.5 ± 2.6. Получены данные, свидетельствующие о том, что E₂ выступает не только в качестве эффектора процесса модификации, но и ингибитора вследствие образования комплекса PE₂* с K_{e₂}* = (1.97 ± 1.27) × 10⁷ M⁻¹, не способного присоединять реагент.

Ключевые слова: нукleinовые кислоты, направленная модификация, олигонуклеотидные эффекторы, кинетика.

Специфичная к последовательности модификация одно- и двухцепочечных нукleinовых кислот реакционноспособными производными олигонуклеотидов, способных образовывать соответствующие дуплексы или триплексы, – один из наиболее перспективных вариантов антисмыслового подхода к регуляции экспрессии генов [1, 2]. Ранее было показано [3 - 6], что из зависимости предельной по времени степени внутрикомплексной модификации мишени от концентрации реагента могут быть получены количественные характеристики стабильности комплексов. В предыдущей работе [7] этот подход был применен нами для оценки величины кооперативных эффектов, возникающих при использовании в ходе модификации нукleinовых кислот так называемых олигонуклеотидных эффекторов. Олигонук-

леотидные эффекторы химической модификации нукleinовых кислот – это конъюгаты олигонуклеотидов, несущие стабилизирующие дуплекс группы и образующие tandem с реакционноспособным производным на нукleinовой кислоте мишени [8, 9]. С использованием реакционноспособных производных олигонуклеотидов, несущих N-(N-метил-2-хлорэтиламино)фенильную группу (RCI) в качестве реагентов и N-(2-гидроксиэтил)феназиниевый остаток (Phn) в качестве стабилизирующих дуплекс группы, в работе [10] было показано, что в условиях, когда алкилирование в присутствии одного только реагента преnебрежимо мало, эти дополнительные олигонуклеотиды увеличивали степень модификации почти до количественных значений.

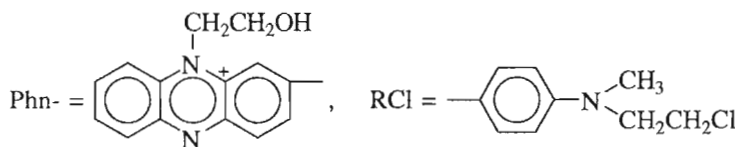
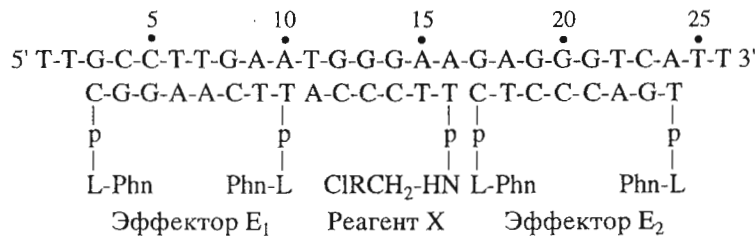
Ранее [7] мы изучали количественные характеристики направленной модификации модельного 26-звенного фрагмента ДНК производным гексадезоксиинуклеотида с 5'-концевой алкилирующей группой в присутствии эффекторов E₁ и E₂,

* Автор для переписки.

Префикс "d" в обозначениях олигодезоксирибонуклеотидов всегда отпущен.

производных олигонуклеотидов, несущих на 5'- и 3'-концевых фосфатных группах присоединенные через этилендиаминовый линкер остатки

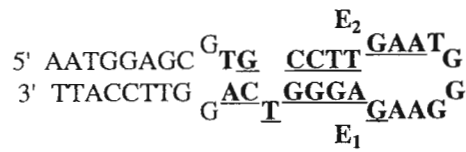
N-(2-гидроксиэтил)феназиния, связывающиеся с участками ДНК-мишени со стороны 5'- и 3'-концов реагента соответственно:



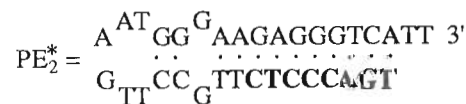
Было показано, что при концентрации реагента $\sim 5 \times 10^{-6}$ М и в отсутствие эффекторов степень модификации ничтожно мала, тогда как в присутствии эффектора E_1 с ростом концентрации последнего она достигала платового значения, равного 0.5 - 0.6. Это значение хорошо согласуется с выведенным теоретически в работе [6] при следующих основных допущениях: 1) реагент берется в начальной концентрации x_0 , намного превышающей начальную концентрацию мишени p_0 ; 2) реагент X, мишень P и их комплекс RX находятся в равновесии в течение всего процесса (квазиравновесное приближение); 3) идущий в растворе гидролиз C-Cl-связи в RCl-группе реагента не приводит к изменению сродства реагента к мишени P.

Вместе с тем проведение аналогичных экспериментов с эффектором E_2 показало, что, несмотря на отчетливое повышение степени модификации реагентом X при добавлении эффектора E_2 , предельное значение степени модификации остается низким. Это различие могло быть обусловлено как минимум двумя причинами. Во-первых, предельное значение выхода продукта модификации может зависеть от концентрации реагента и достигнутый в работе [7] небольшой выход при высоких концентрациях эффектора E_2 мог быть результатом недостаточной концентрации реагента. Во-вторых, не исключено, что наряду с комплексом PE_2 , способным присоединять реагент, возможно образование комплекса PE_2^* , в котором место связывания реагента заблокировано. В исследуемом случае это вполне вероятно. Действительно, участок последовательности мишени P (нуклеотиды 2 - 24) является частью шпилечного района в исследованном ранее 302-звенном фраг-

менте ДНК, для которого в работах [11, 12] была предложена следующая вторичная структура:



(жирным шрифтом выделен участок, идентичный последовательности 2 - 22 26-мера; подчеркнуты нуклеотиды, участвующие в образовании комплексов с E_1 и E_2). Олигонуклеотидная часть реагента X комплементарна петле приведенной шпилечной структуры, тогда как эффекторы E_1 и E_2 комплементарны участкам, которые могут быть заняты в формировании стебля. Существование в мишени P вторичной или третичной структуры следует из данных нашей работы [7], где было показано, что на кривой плавления мишени P имеется переход при 30 - 35°C. С другой стороны, можно предположить, что мишень P образует с эффектором E_2 комплекс, не способный к связыванию реагента:

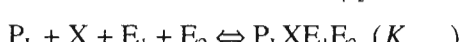
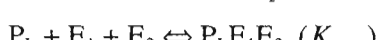
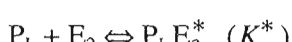
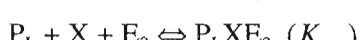
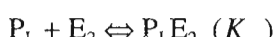
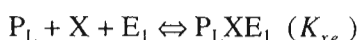
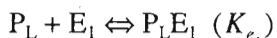
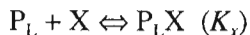


(жирным шрифтом выделена олигонуклеотидная последовательность эффектора E_2).

Целью настоящей работы было более полное исследование зависимости предельного выхода продукта модификации от концентрации всех трех производных олигонуклеотидов, участвующих в формировании комплексов с мишенью. Кроме того, тем же методом получены некоторые количественные характеристики комплексообразования

с укороченными мишенями, неспособными к образованию приведенных выше шпилечных структур.

Для описания процессов комплексообразования, происходящих в системе, использовались следующие уравнения:



где P_L – неструктурированная форма мишени, способная к образованию комплекса с реагентами, P_H – структурированная форма.

Модификация мишени Р протекает в составе комплексов $P_L X$, $P_L X E_1$, $P_L X E_2$, $P_L X E_1 E_2$. Уравнения, описывающие кинетику модификации в составе этих комплексов и зависимости предельного выхода модификации мишени от концентраций реагента и эффекторов, приведены в Приложении.

Были получены зависимости предельной по времени степени модификации $[PZ]_\infty / p_0$ в присутствии одного из эффекторов E_1 или E_2 от концентрации эффекторов E_1 и E_2 для разных концентраций реагента. Эти зависимости представлены на рис. 1 и 2 в полулогарифмических координатах. При $e_0 \geq 10^{-6}$ М в обоих случаях степень модификации выходила на плато. С ростом концентрации реагента платовые величины $[PZ]_\infty / p_0$ возрастают до значения ≈ 0.6 , однако в присутствии эффектора E_1 это значение достигается при меньшей концентрации реагента X, чем для эффектора E_2 .

Зависимости предельной по времени степени модификации $[PZ]_\infty / p_0$ от начальной концентрации реагента X были получены экспериментально и представлены на рис. 3. Кривая 1 соответствует зависимости $[PZ]_\infty / p_0$ в отсутствие эффекторов E_1 и E_2 ; кривая 2 получена в присутствии эффектора E_1 , кривая 3 – в присутствии эффектора E_2 , кривая 4 – в присутствии эффекторов E_1 и E_2 .

Кривые 1 - 4 описываются уравнениями (6) - (9) (см. Приложение) соответственно, из которых были рассчитаны величины γ (эффективность ал-

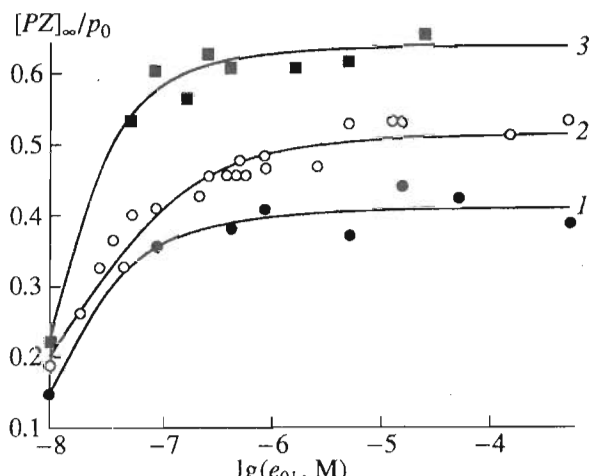


Рис. 1. Зависимости предельной по времени степени модификации мишени Р ($[PZ]_\infty / p_0$) от логарифма начальной концентрации эффектора E_1 для начальных концентраций (x_0) реагента X, равных 1 (1), 5 (2), 8.23 мкМ (3) ($p_0 = 5$ нМ, 25°C).

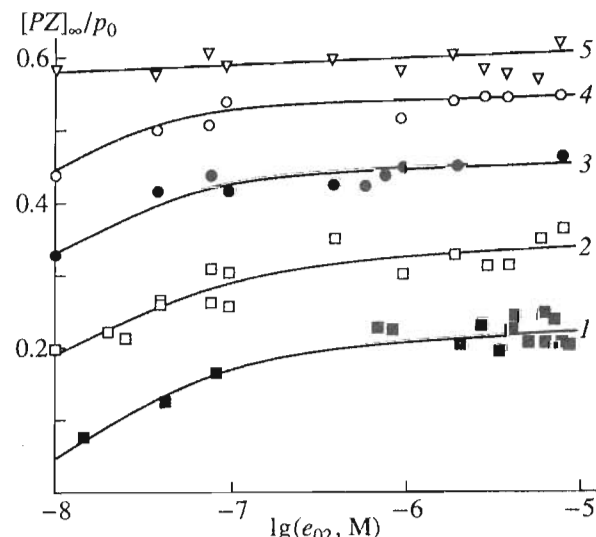


Рис. 2. Зависимости предельной по времени степени модификации мишени Р от логарифма начальной концентрации эффектора E_2 для начальных концентраций реагента x_0 , равных 5 (1), 20 (2), 43 (3), 86 (4) и 130 мкМ (5). $p_0 = 5$ нМ.

килирования мишени в составе комплекса) и отношения констант связывания:

$$\gamma_0 = 0.83 \pm 0.06;$$

$$K_x / (1 + K_h) = (2.16 \pm 0.38) \times 10^4 \text{ M}^{-1};$$

$$\gamma_1 = 0.97 \pm 0.05;$$

$$K_{xe_1} / K_{e_1} = (6.75 \pm 0.12) \times 10^5 \text{ M}^{-1};$$

$$\gamma_2 = 0.96 \pm 0.02,$$

$$K_{xe_2} / (K_{e_2} + K_{e_2}^*) = (4.15 \pm 0.29) \times 10^4 \text{ M}^{-1};$$

$$\gamma_{12} = 0.98 \pm 0.04,$$

$$K_{xe_1 e_2} / K_{e_1 e_2} = (5.87 \pm 1.0) \times 10^6 \text{ M}^{-1}.$$

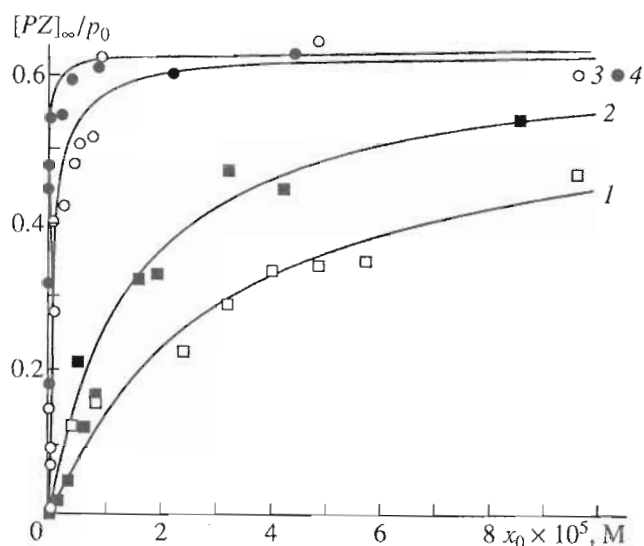


Рис. 3. Зависимости предельной по времени степени модификации мишени Р ($[PZ]_{\infty}/p_0$) от концентрации реагента x_0 : 1 — $e_{01} = e_{02} = 0$; 2 — $e_{02} = 13.8 \text{ мкМ}$, $e_{01} = 0$; 3 — $e_{01} = 10 \text{ мкМ}$, $e_{02} = 0$; 4 — $e_{01} = 10 \text{ мкМ}$, $e_{02} = 13.8 \text{ мкМ}$ ($p_0 = 5 \text{ нМ}$, 25°C).

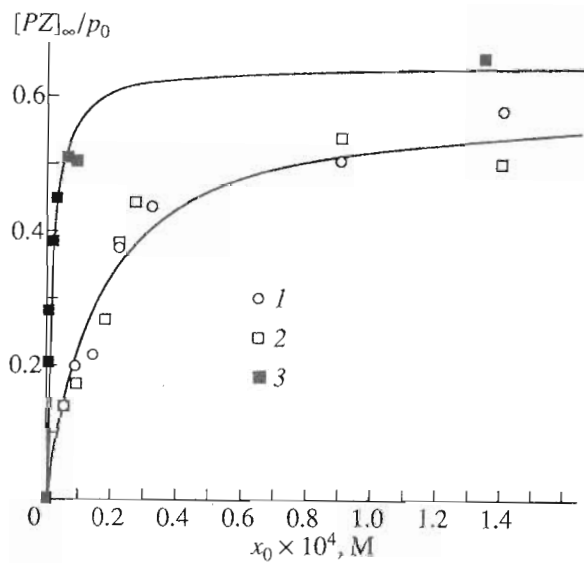


Рис. 4. Зависимости предельной по времени степени модификации ($[PZ]_{\infty}/p_0$) 10-мера (1) и 22-мера (2, 3) от концентрации реагента x_0 (1, 2 — $e_{02} = 0$; 3 — $e_{02} = 13.8 \text{ мкМ}$; $p_0 = 5 \text{ нМ}$, 25°C).

Значения γ равны примерно единице, что свидетельствует об отсутствии стерических затруднений при модификации мишени в составе комплексов РХЕ₁ и РХЕ₂, хотя присоединение к мишени Р эфектора Е₂ изменяет позиционную селективность модификации [7, 10].

Поскольку из данных, представленных на рис. 3 (кривая 1), может быть рассчитана лишь комбинация констант $K_x/(1 + K_h)$, то для определения значения K_x были получены зависимости $[PZ]_{\infty}/p_0$

от концентрации реагента более коротких мишней РTGGGAAGAGT (10-мер) и РTGAATGGGAA-GAGGTCAGGTT (22-мер) (подчеркнуты участки связывания реагента X). Из рис. 4 видно, что данные для 10- и 22-меров укладываются на одну кривую. Обработка этих данных методом нелинейной регрессии по уравнению (6) (см. Приложение) привела к значению K_x , равному $(4.3 \pm 1.9) \times 10^4 \text{ M}^{-1}$. Оно превышает величину $K_x/(1 + K_h)$ примерно в 2 раза, что свидетельствует о некотором участии области комплементарности реагента в формировании пространственной структуры мишени. С использованием этой величины было оценено значение K_h (~1). Следовательно, в условиях эксперимента приблизительно у 50% всей мишени область связывания реагента участвует в образовании пространственной структуры.

Взаимодействие мишени Р одновременно с олигонуклеотидами X и Е₁, X и Е₂, а также X и обоими эффекторами рассматривается как кооперативное, в связи с чем константы образования этих комплексов выражаются в виде произведений $K_{xe_1} = \alpha_1 K_x K_{e_1}$, $K_{xe_2} = \alpha_2 K_x K_{e_2}$, $K_{xe_1 e_2} = \alpha_{12} K_x K_{e_1} K_{e_2}$, где α_1 , α_2 и α_{12} — коэффициенты кооперативности, ответственные за взаимодействие между концами реагента и эффекторов в составе тандемных комплексов с мишенью. Если константы образования комплексов РЕ₂ и РЕ₂^{*} различаются на коэффициент ϕ , т.е. $K_{e_2}^* = \phi K_{e_2}$, то, используя значение $K_x = (4.2 \pm 0.6) \times 10^4 \text{ M}^{-1}$, из приведенных выше отношений констант связывания можно рассчитать коэффициенты кооперативности: $\alpha_1 = 15.7 \pm 2.1$, $\alpha_2/(1 + \phi) = 1.0 \pm 0.1$, $\alpha_{12} = 136.5 \pm 2.6$.

Поскольку должно выполняться равенство $\alpha_{12} = \alpha_1 \alpha_2$, можно получить $\alpha_2 = 8.7 \pm 1.2$. Следовательно, $\phi = 7.7 \pm 1.2$, т.е. эффектор Е₂ преимущественно образует такой комплекс с мишенью Р, который не способен связываться с реагентом, поэтому Е₂ слабее влияет на эффективность присоединения реагента к мишени, чем Е₁. Хотя Е₂ и увеличивает константу связывания реагента с мишенью в 8.7 раза, однако примерно в той же мере уменьшает долю мишени, способной образовывать комплекс с реагентом. Положительная роль эффектора Е₂ заключается лишь в подавлении формирования собственной структуры мишени, что выражается в исчезновении из уравнения (8) члена $(1 + K_h)$.

В присутствии же эффектора Е₁ не только исчезает собственная пространственная структура мишени, мешающая связыванию реагента, но и в 15.8 раза возрастает эффективность комплексообразования реагента. В целом эффективная константа связывания реагента с мишенью возрастает в $\alpha_1(1 + K_h)$ раз, что составляет величину ≈ 30 .

Для дополнительной проверки полученных выше коэффициентов кооперативности была проведена модификация 22-мера реагентом X в присутствии эфектора E₂. Из зависимости предельной по времени степени модификации 22-мера [PZ]_∞/p₀ (рис. 4, кривая 3) от x₀ при e₀₂ = 1.38 × 10⁻⁵ М с помощью уравнения, аналогичного уравнению (7) (см. Приложение), было рассчитано значение α₂ = 9.9 ± 0.3, что близко к оцененной выше величине.

Значения констант устойчивости специфических комплексов мишень–эффектор PЕ₁ и PЕ₂ (K_{e₁} и K_{e₂}) могут быть определены из зависимостей предельной по времени степени модификации [PZ]_∞/p₀ от концентрации Е₁ или Е₂. Для расчета K_{e₁} была использована кривая 2 для x₀ = 0.5 × 10⁻⁵ М на рис. 1, а для расчета K_{e₂} – кривые 1 и 2 для x₀ = 0.5 × 10⁻⁵ и 2.0 × 10⁻⁵ М (рис. 2). Обработку данных проводили по уравнениям (10) и (11) соответственно. Путем подгонки параметров (с использованием уже найденных величин α и γ) получено, что K_{e₁} = (1.25 ± 0.44) × 10⁷ М⁻¹, а K_{e₂} равна в среднем (2.56 ± 1.22) × 10⁶ М⁻¹. Следовательно, K_{e₂}^{*} = (1.97 ± 1.27) × 10⁷ М⁻¹.

Результаты данной работы показывают, что метод химической модификации позволяет получать количественную информацию, достаточную для определения как сродства реагента и олигонуклеотидных эфекторов к нуклеиновым кислотам–мишениям, так и коэффициентов кооперативности и эффективности модификации мишени в составе комплексов с реагентом даже в случаях, осложненных формированием структур мишени, мешающих образованию комплексов с реагентом. Выяснению конкретного строения таких структур будет посвящено дополнительное исследование.

ЭКСПЕРИМЕНТАЛЬНАЯ ЧАСТЬ

Методика эксперимента описана ранее в работе [7].

Авторы благодарят Г.А. Максакову за синтез дезоксирибоолигонуклеотидов, Д.В. Пышного за полезную дискуссию. Работа выполнена по ГНТП “Новейшие методы биоинженерии” (раздел “Ген-направленные биологически активные вещества”).

Приложение

Модификация мишени Р протекает в составе комплексов P_LX, P_LXE₁, P_LXE₂, P_LXE₁E₂, для которых

$$\chi = \frac{[P_L X] + [P_L XE_1] + [P_L XE_2] + [P_L XE_1 E_2]}{p_0}. \quad (1)$$

Если начальная концентрация мишени (p₀) намного меньше начальной концентрации реагента (x₀) и эфекторов (e₀₁ и e₀₂), то

$$\begin{aligned} \chi = & (K_x x_0 + K_{xe_1} x_0 e_{01} + K_{xe_2} x_0 e_{02} + K_{xe_1 e_2} x_0 e_{01} e_{02}) \times \\ & \times (1 + K_h + K_x x_0 + K_{e_1} e_{01} + K_{xe_1} x_0 e_{01} + K_{e_2} e_{02} + \\ & + K_{xe_2} x_0 e_{02} + K_{e_1 e_2} e_{01} e_{02} + K_{xe_1 e_2} x_0 e_{01} e_{02} + K_{e_2}^* e_{02})^{-1}. \end{aligned} \quad (2)$$

Ранее [6] было показано, что в условиях квазиравновесия степень модификации нуклеиновых кислот алкилирующими производными олигонуклеотидов, реагирующими через образование в лимитирующей стадии промежуточных частиц с константой скорости k₀, параллельно расходующихся в растворе, может быть описана уравнением

$$\frac{[PZ]}{p_0} = 1 - \exp \{-\gamma \chi [1 - \exp(-k_0 t)]\}, \quad (3)$$

где γ – эффективность модификации в составе комплекса с реагентом, доля которого составляет величину χ. Если в растворе образуется i различных комплексов с реагентом, в которых протекает модификация мишени, то уравнение (3) принимает вид

$$\frac{[PZ]}{p_0} = 1 - \exp \left\{ -\sum_i \gamma_i \chi_i [1 - \exp(-k_0 t)] \right\}, \quad (4)$$

т.е. суммарная степень модификации мишени описывается выражением

$$\begin{aligned} \frac{[PZ]}{p_0} = & 1 - \exp \{ -(\gamma_0 K_x x_0 + \gamma_1 K_{xe_1} x_0 e_{01} + \\ & + \gamma_2 K_{xe_2} x_0 e_{02} + \gamma_{12} K_{xe_1 e_2} x_0 e_{01} e_{02}) [1 - \exp(-k_0 t)] \times \\ & \times (1 + K_h + K_x x_0 + K_{e_1} e_{01} + K_{xe_1} x_0 e_{01} + K_{e_2} e_{02} + \\ & + K_{xe_2} x_0 e_{02} + K_{e_1 e_2} e_{01} e_{02} + K_{xe_1 e_2} x_0 e_{01} e_{02} + K_{e_2}^* e_{02})^{-1} \}. \end{aligned} \quad (5)$$

Пользуясь выражением (5), можно получить уравнения для обработки экспериментальных данных в конкретных условиях, например:

$$1) e_{01} = 0, e_{02} = 0$$

$$\frac{[PZ]_\infty}{p_0} = 1 - \exp \left(-\frac{\gamma_0}{1 + (1 + K_h)/K_x x_0} \right), \quad (6)$$

$$2) e_{02} = 0, e_{01} \rightarrow \infty$$

$$\frac{[PZ]_\infty}{p_0} = 1 - \exp \left(-\frac{\gamma_1}{1 + K_{e_1}/K_{xe_1} x_0} \right), \quad (7)$$

$$3) e_{01} = 0, e_{02} \rightarrow \infty$$

$$\frac{[PZ]_\infty}{p_0} = 1 - \exp \left(-\frac{\gamma_2}{1 + \frac{K_{e_2} + K_{e_2}^*}{K_{xe_2} x_0}} \right), \quad (8)$$

4) $e_{01} \rightarrow \infty, e_{02} \rightarrow \infty$

$$\frac{[PZ]_\infty}{p_0} = 1 - \exp \left(-\frac{\gamma_{12}}{1 + \frac{K_{e_1 e_2}}{K_{x e_1} x_0}} \right), \quad (9)$$

5) $e_{01} \neq 0, e_{02} = 0$

$$\frac{[PZ]_\infty}{p_0} = \frac{\gamma_0 K_x x_0 + \gamma_1 K_{x e_1} x_0 e_{01}}{1 + K_h + K_x x_0 + K_{e_1} e_{01} + K_{x e_1} x_0 e_{01}}, \quad (10)$$

6) $e_{01} = 0, e_{02} \neq 0$

$$\frac{[PZ]_\infty}{p_0} = 1 - \exp \left(-\frac{\gamma_0 K_x x_0 + \gamma_2 K_{x e_2} x_0 e_{02}}{1 + K_h + K_x x_0 + K_{e_2} e_{02}(1 + \varphi) + K_{x e_2} x_0 e_{02}} \right). \quad (11)$$

СПИСОК ЛИТЕРАТУРЫ

1. Knorre D.G., Vlassov V.V. // Progr. Nucl. Acids Res. Mol. Biol. 1985. V. 32. P. 292 - 320.
2. Knorre D.G., Vlassov V.V., Zarytova V.F., Lebedev A.V., Fedorova O.S. Design and Targeted Reactions of Oligonucleotide Derivatives. CRC Press: Boca Raton, 1993.
3. Кнорре Д.Г., Попов С.Г., Чимитова Т.А. // Докл. АН СССР. 1976. Т. 230. С. 1369 - 1373.
4. Гринева Н.И., Карпова Г.Г., Пичко Н.П. // Молекуляр. биология. 1978. Т. 12. С. 135 - 147.
5. Гринева Н.И., Карпова Г.Г., Кнорре Д.Г., Пичко Н.П., Чимитова Т.А. // Молекуляр. биология. 1980. Т. 14. С. 1301 - 1307.
6. Knorre D.G., Chimitova T.A. // FEBS Lett. 1981. V. 131. P. 249 - 252.
7. Федорова О.С., Одинаев А.Д., Горн В.В., Максакова Г.А., Перебоева О.С., Кнорре Д.Г. // Биоорган. химия. 1994. Т. 20. С. 932 - 945.
8. Зарытова В.Ф., Кутягин И.В., Левина А.С., Мамаев С.В. // Докл. АН СССР. 1988. Т. 302. С. 102 - 104.
9. Кутягин И.В., Подымогин М.А., Вахина Ю.Н., Федорова О.С., Кнорре Д.Г., Левина А.С., Мамаев С.В., Зарытова В.Ф. // FEBS Lett. 1988. V. 238. P. 35 - 38.
10. Зарытова В.Ф., Кутягин И.В., Мамаев С.В., Подымогин М.А. // Биоорган. химия. 1990. Т. 16. С. 1653 - 1660.
11. Власов В.В., Кнорре Д.Г., Кутягин И.В., Мамаев С.В., Подуст Л.М., Федорова О.С. // Биоорган. химия. 1987. Т. 13. С. 1221 - 1229.
12. Fedorova O.S., Podust L.M. // J. Inorg. Biochem. 1988. V. 34. P. 149 - 155.

A Study of the Cooperative Interactions of Deoxyribooligonucleotide Derivatives under Binding with DNA by Chemical Modification

A. Adina-zada and O. S. Fedorova*

Novosibirsk Institute of Bioorganic Chemistry, Russian Academy of Sciences,
Siberian Division, pr. akademika Lavrent'eva 8, Novosibirsk, 630090 Russia

Abstract – Quantitative characteristics of the modification of deoxyribooligonucleotide TTGCCTTGAATGG-GAAGAGGGTCATT (P) with 4-(N-2-chloroethyl)-N-methylamino)benzyl phosphamide derivative of oligonucleotide pTTCCCC (X) were studied. The modification was performed in the presence of derivatives of the oligonucleotides (Phn-L)pTTCAAAGGCP(L-Phn) (E₁) and (Phn-L)pTGACCCCTCP(L-Phn) (E₂), where Phn is the residue of N-(2-hydroxyethyl)phenazinium, and L is ethylene diamine spacer. In PXE₁, PXE₂, and PXE₁E₂ complexes, E₁, E₂, and reagent X are bound with target P in tandem, with E₁ near the 3'-end and E₂ near the 5'-end of the reagent X. From the dependences of the maximum in time modification degree of target P and the shorter targets containing the complementary binding site for the reagent X on its concentration, the association constants of the complexes PX, PE₁, and PE₂ were determined as $K_X = (4.2 \pm 0.6) \times 10^4 \text{ M}^{-1}$, $K_{e_1} = (1.25 \pm 0.44) \times 10^7 \text{ M}^{-1}$, and $K_{e_2} = (2.56 \pm 1.22) \times 10^6 \text{ M}^{-1}$, respectively. The cooperativity coefficients of joint binding the X, E₁, and E₂ with the target giving rise to the complexes PXE₁, PXE₂, and PXE₁E₂ were estimated as $\alpha_1 = 15.7 \pm 2.1$, $\alpha_2 = 8.7 \pm 1.2$, and $\alpha_{12} = 136.5 \pm 2.6$, respectively. The data obtained suggest that E₂ is not only the effector of modification but it is also an inhibitor due to the formation of the complex PE₂* with $K_{e_2}^* = (1.97 \pm 1.27) \times 10^7 \text{ M}^{-1}$ not capable of adding the reagent X.

Key words: nucleic acids, site-directed modification, oligonucleotide effectors, kinetics.

* To whom correspondence should be addressed.